



شبیه‌سازی عددی ناپایداری انگشتی لزج در جابجایی سیال نیوتونی توسط سیال ویسکوالاستیک وايت-متزner در محیط‌های ناهمگن

حسنی شکری¹, محمد حسن کیهانی², محمود نوروزی^{3*}

1- دانشجوی دکتری، مهندسی مکانیک، دانشگاه صنعتی شهرورد، شهرورد

2- استاد، مهندسی مکانیک، دانشگاه صنعتی شهرورد، شهرورد

3- دانشیار، مهندسی مکانیک، دانشگاه صنعتی شهرورد، شهرورد

* شهرورد، صندوق پستی 316 3619995161 mnorouzi@shahroodut.ac.ir

چکیده

در این مطالعه به بررسی ناپایداری انگشتی در جابجایی سیال نیوتونی توسط سیال ویسکوالاستیک به کمک روش طیفی و تبدیلات هارتلی در محیط ناهمگن پرداخته شده است. از مدل وايت-متزner به عنوان معادله ساختاری استفاده شده است. این مدل به خوبی قادر به ارائه رفتار بازیکشوندگی و الاستیک سیال ویسکوالاستیک می‌باشد. ناهمگنی محیط به دو صورت مختلف در نظر گرفته شده است. در حالت اول نفوذپذیری در مقطع عرضی به صورت نمایی کاہش می‌باشد. این حالت، ناهمگنی کاہشی نامیده شده است. در حالت دوم نفوذپذیری محیط ابتدا روند افزایشی خواهد داشت و در میانه مقطع عرضی به حداقل مقدار خود می‌رسد و سپس کاہش می‌باشد. این نوع ناهمگنی، ناهمگنی سهموی نامیده شده است. تتابع شامل کانتورهای غلظت، منحنی‌های طول اختلاط و بازده جاروبی خواهد بود. می‌توان ملاحظه نمود که در حالت اول درجه ناهمگنی تأثیر چندانی روی ساختار انگشتی‌ها نخواهد داشت. با این حال افزایش این پارامتر موجب کاہش طول اختلاط و افزایش بازده جاروبی خواهد شد. در حالیکه با تغییر درجه ناهمگنی در حالت دوم، ساختار انگشتی‌ها به شدت تحت تأثیر قرار خواهد گرفت. همچنین در این حالت افزایش درجه ناهمگنی، افزایش طول اختلاط و کاهش بازده جاروبی را بدنبال دارد. همچنین در هر دو حالت، خاصیت باریکشوندگی سیال ویسکوالاستیک موجب ناپایدارتر شدن جریان خواهد شد. هر چند به نظر می‌رسد این تأثیر در محیط با ناهمگنی سهموی کمتر است.

اطلاعات مقاله

مقاله پژوهشی کامل	1396
دربافت: 20 بهمن 1397	پذیرش: 25 فوریه 1397
ارائه در سایت: 21 اردیبهشت 1397	
کلید واژگان:	
ناپایداری انگشتی	
سیال ویسکوالاستیک	
مدل وايت- متزner	
محیط ناهمگن	

Numerical simulation of viscous fingering instability in displacement of Newtonian fluid by White-Metzner viscoelastic fluid in heterogeneous media

Hosna Shokri, Mohammad Hasan Kayhani, Mahmood Norouzi^{3*}

Mechanical Engineering Department, Shahrood University of Technology, Shahrood, Iran.
* P.O. B. 316, 361 9995161, Shahrood, Iran, mnorouzi@shahroodut.ac.ir

ARTICLE INFORMATION

Original Research Paper
Received 09 February 2018
Accepted 14 April 2018
Available Online 11 May 2018

Keywords:
Fingering instability
Viscoelastic fluid
White-Metzner model
Heterogeneous media

ABSTRACT

In this study, the fingering instability in displacement of Newtonian fluid by viscoelastic fluid through heterogeneous media is investigated using spectral method and Hartley transforms. The White-Metzner model has been used as the constitutive equation. This model can be presented the shear-thinning and elastic behaviors of viscoelastic fluid very well. The heterogeneity of the media is considered in two different types. In the first case, the permeability of medium exponentially decreases in the transverse section. This case is named decreasing heterogeneity. In the second case, the permeability of the medium will initially be increasing and it reaches to its maximum at the middle of the cross-section and then decreases. This type of heterogeneity is called parabolic heterogeneity. The results are included concentration contours, mixing length and sweep efficiency. It can be seen that in the first case, the degree of heterogeneity has little effect on the structure of fingers. However, increasing in this parameter leads to decrease in mixing length and increase in sweep efficiency. But, in the latter case, with the change in the degree of heterogeneity, the finger structure will be strongly affected. In addition, in this case, increasing the degree of heterogeneity will increase the mixing length and reduce the sweep efficiency. Also, in both cases, the flow becomes more unstable by the shear thinning property of viscoelastic fluid. Although it seems this effect is less in medium with parabolic heterogeneity.

ویسکوزیته کمتر به درون محیط متخلخل که با سیالی با ویسکوزیته بیشتر اشاع شده است، تزریق می‌شود سطح تماس دو سیال به علت اختلاف ویسکوزیته ناپایدار شده و به مرور زمان سیال جابجاکننده به صورت انگشتی در سیال جابجاشونده نفوذ می‌نماید. این پدیده به دلیل ظاهر شدن در فرآیند

1- مقدمه
ناپایداری انگشتی لزج یا سافمن-تیلور¹ نوعی ناپایداریست که به علت اختلاف ویسکوزیته در سطح تماس دو سیال رخ می‌دهد. هنگامی که سیال با

¹ Saffman-Taylor

استفاده نمودند. شکری و همکاران [17,16] با کمک مدل اولدروبید-بی^۳ به شبیه‌سازی جابجایی جریان نیوتونی توسط سیال ویسکوالاستیک در محیطی همسانگرد و ناهمسانگرد پرداختند. نتایج آن‌ها نشان داد که خاصیت الاستیک سیال ویسکوالاستیک می‌تواند موجب کنترل رشد انگشتی‌ها و کاهش شدت ناپایداری گردد.

بر اساس بررسی‌های صورت گرفته تاکنون تلاشی در زمینه شبیه‌سازی ناپایداری انگشتی سیال ویسکوالاستیک با در نظر گرفتن خاصیت باریک شوندگی و الاستیک این نوع سیال به صورت توانمند صورت نگرفته است و مطالعات انجام شده یا از خاصیت الاستیک صرف نظر نموده‌اند یا از مدل‌های به عنوان معادله ساختاری سیال ویسکوالاستیک بهره برده‌اند که قادر به ارائه رفتار باریک‌شوندگی این نوع سیال نیست. علاوه بر این، بررسی‌های صورت گرفته در زمینه شبیه‌سازی جابجایی سیال غیرنیوتونی در محیط ناهمگن بسیار محدوداند. در واقع محیط‌های صنعتی و طبیعی که در آن شاهد شکل گیری ناپایداری انگشتی هستیم (همانند محیط چاه نفت) به ندرت همگن می‌باشند. از طرفی سیال همواره تمایل دارد از محیط‌های با نفوذپذیری بالاتر پیشروی نماید. در نتیجه ناهمگنی محیط، تأثیر قابل ملاحظه‌ای بر روی ناپایداری انگشتی خواهد داشت. بنابراین در این مطالعه قصد داریم به شبیه‌سازی جابجایی سیال نیوتونی توسط سیال ویسکوالاستیک وايت-متزنر^۴ در محیط ناهمگن بپردازیم. ناهمگنی محیط به دو صورت کاهش نمایی در مقطع عرضی و روند افزایش و سپس کاهش در مقطع عرضی در نظر گرفته خواهد شد. همچنین جریان سیال به صورت اختلاط‌پذیر در نظر گرفته می‌شود.

2- فیزیک مسئله

در این مطالعه از سلول هل-شاو به منظور شبیه‌سازی محیط متخلخل استفاده شده است. حاکمیت قانون دارسی بر جریان در این دو محیط موجب شده است که در شبیه‌سازی ناپایداری انگشتی به طور گسترش از سلول هل-شاو به عنوان محیط متخلخل استفاده شود. نمایی از مسئله در شکل 1 نمایش داده شده است. هندسه مسئله از دو صفحه موازی به طول L و عرض W تشکیل یافته که در فاصله b از هم قرار دارند و جریان با سرعت U در جهت نشان داده شده به آن تزریق می‌شود. در این مطالعه محیط جریان ناهمگن در نظر گرفته شده است. برای این نظریه دو نوع ناهمگنی مورد بررسی خواهد گرفت. در حالت اول نفوذپذیری محیط در جهت z به صورت نمایی کاهش خواهد یافت. معادله (1) توصیف کننده نفوذپذیری در این حالت در محیط مورد مطالعه است:

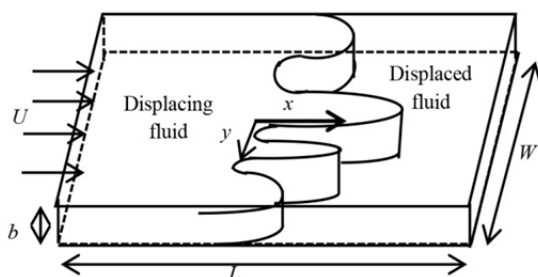


Fig. 1 The Schematic of the problem

شکل 1 نمایی از مسئله مورد مطالعه

بازیابی نفت از دیریاز توجه بسیاری را به خود جلب نموده است. پس از پایان مرحله اول بهره‌برداری از یک مخزن نفتی (مرحله‌ای که نفت با فشار درون مخزن استخراج می‌شود)، از سیال دیگری همچون آب برای هدایت ذخیره مخزن به محل برداشت استفاده می‌شود. به این صورت که آب از چاههای عمیقی که در کنار مخزن اصلی حفر شده است به درون آن پمپاژ می‌شود. از آنجاییکه ویسکوزیته آب کمتر از نفت است ناپایداری انگشتی در این فرآیند جابجایی ظاهر شده و بازده استخراج را کاهش خواهد داد. بنابراین شناخت این ناپایداری و عوامل تأثیرگذار به منظور کنترل آن ضروری به نظر می‌رسد. نخستین مطالعه در زمینه ناپایداری انگشتی در سال 1952 توسط هیل [1] صورت گرفت. بررسی‌های صورت گرفته پس از آن را می‌توان به دو دسته اصلی تقسیم نمود: بررسی ناپایداری انگشتی جریان نیوتونی و بررسی ناپایداری انگشتی در حضور سیالات غیرنیوتونی. دسته‌ای اول بخش عمده‌ای از مطالعات را به خود اختصاص داده است. از میان آن‌ها می‌توان به مطالعه صورت گرفته توسط تن و هوموسی [2] اشاره نمود. آنها برای نخستین بار از روش طیفی و تبدیلات هارتلی بهره برده‌اند. از جمله مطالعاتی که اثر ناهمگنی محیط بر ناپایداری انگشتی جریان نیوتونی را مورد بررسی قرار داده‌اند می‌توان به مطالعه صورت گرفته توسط تن و هوموسی [4] اشاره نمود. در این مطالعه ناهمگنی محیط به صورت تصادفی در نظر گرفته شده است. دی‌ویت و هوموسی [5] با در نظر گرفتن ناهمگنی محیط به صورت لایه‌ای و شطرنجی به تحلیل خطی و شبیه‌سازی غیرخطی ناپایداری انگشتی پرداختند. نتایج آنها نشان‌دهنده ظهور رژیم جریان کاتالی برای سیستم لایه‌ای می‌باشد. همچنین هرچه تعداد لایه‌ها محیط افزایش یابد جریان پایدارتر خواهد شد. سجادی و عزایز [7] با در نظر گرفتن محیط با ناهمگنی لایه‌ای به بررسی عوامل تأثیرگذار بر روی ناپایداری انگشتی جریان نیوتونی پرداخته‌اند.

مطالعات صورت گرفته در زمینه سیال غیرنیوتونی به مراتب کمتر از سیال نیوتونی است. بیشتر این مطالعات بر روی خاصیت باریک‌شوندگی سیال غیرنیوتونی تمرکز دارند. از آن جمله می‌توان به مطالعات صورت گرفته توسط پاسکال [8]، لی [9] و کیم و چوی [10] اشاره نمود. در تمامی این مطالعات نشان داده شد که خاصیت باریک‌شوندگی سیال غیرنیوتونی ناپایداری جریان را شدت می‌بخشد. در مطالعه صورت گرفته توسط نوروزی و شوقی [11] جابجایی سیال نیوتونی توسط سیال باریک‌شونده در محیطی ناهمسانگرد مورد بررسی قرار گرفت. آنها همچنین با در نظر گرفتن ناهمگنی محیط به صورت نمایی به بررسی ناپایداری انگشتی سیال باریک‌شونده پرداختند [12]. در سال 1964، پی [13] نشان داد که افزودن پلیمر قابل اتحال به آب با افزایش گرانروی آن موجب افزایش بازده جابجایی خواهد شد. از آن پس پلیمرزنی به عنوان ابزاری کارآمد در فرایند برداشت نفت مورد توجه قرار گرفت. محلول‌های پلیمری را می‌توان به عنوان سیال ویسکوالاستیک دسته‌بندی نمود. خاصیت الاستیک از جمله ویژگی‌های بارز این نوع سیال علاوه بر خاصیت باریک‌شوندگی است. مورا و مونا [14] با در نظر گرفتن مدل ماکسول^۱ برای سیال ویسکوالاستیک جابجاکننده، تأثیر خاصیت الاستیک این نوع سیال را مورد بررسی قرار دادند. کیهانی و همکاران [15] از معادله ساختاری کریمنال-اریکسن-فیلیپی^۲ برای شبیه‌سازی سیال ویسکوالاستیک

³ Oldroyd-B model

⁴ White- Metzner

¹ Maxwell model

² Criminale- Eriksen-Filbey model (CEF)

است.

همچنین شرایط مرزی و اولیه به صورت معادلات (10-12) خواهد بود:

$$\begin{aligned} x &= -\frac{L}{2}; \quad u = U; \quad v = 0; \quad c = c_1 \\ x &= \frac{L}{2}; \quad u = U; \quad v = 0; \quad c = 0 \end{aligned} \quad (10)$$

$$(\vec{V}, c) \left(x, -\frac{W}{2}, t \right) = (\vec{V}, c) \left(x, \frac{W}{2}, t \right) \quad (11)$$

$$\begin{aligned} u(x, y, t = 0) &= U; \quad v(x, y, t = 0) = 0 \\ c(x, y, t = 0) &= c_0 \end{aligned} \quad (12)$$

برای کامل شدن معادلات حاکم، نیاز است تغییرات ویسکوزیته و زمان آرامش و β با غلظت مشخص شود. این روابط به صورت معادلات (13-15) خواهد بود:

$$\frac{\eta}{\eta_{10}} = \left[1 + \left(\frac{\zeta V}{b} \right)^2 \right]^{\frac{c}{c_0}(n-1)/2} e^{R(1-\frac{c}{c_0})} \quad (13)$$

$$\lambda = (\lambda_{10})^{\frac{c}{c_0}} \left[1 + \left(\frac{\zeta V}{b} \right)^2 \right]^{\frac{c}{c_0}(n-1)/2} e^{R'(1-\frac{c}{c_0})} \quad (14)$$

$$\beta = \beta_1 e^{R''(1-\frac{c}{c_0})} \quad (15)$$

در معادلات (15-13) و $R' = \ln(\lambda_2)$ ، $R = \ln(\eta_2/\eta_{10})$ می‌باشد.

$R'' = \ln(\beta_2/\beta_1)$ می‌باشد.

به منظور بی‌بعد سازی معادلات حاکم بر جریان، به ترتیب از پارامترهای D/U^2 و U به عنوان مشخصه‌های طول، زمان و سرعت بهره خواهیم برداشت. نفوذپذیری محیط توسط K_0 یا همان میانگین نفوذپذیری محیط، غلظت توسط غلظت سیال جابجاکننده c_1 ، ویسکوزیته توسط ویسکوزیته سیال جابجاکننده در نرخ برش صفر η_{10} و فشار توسط پارامتر $K_0/\eta_{10}D/U$ بعد از η_{10}/K_0 می‌باشد. این سرعت حرکت خواهد نمود. صورت بی‌بعد معادلات بهره خواهیم برداشت. بدین ترتیب که به جای تزریق جریان با سرعت U ، کل سیستم با این سرعت حرکت خواهد بود. صورت بی‌بعد معادلات به صورت روابط (16-22) خواهد بود:

$$\nabla \cdot \vec{V}^* = 0 \quad (16)$$

$$\left(1 + \text{Wi} \frac{\partial}{\partial t^*} \right) \nabla p^* = -\frac{\eta^*}{K^*} \left(1 + (1 - \beta) \text{Wi} \frac{\partial}{\partial t^*} \right) (\vec{V}^* + i) \quad (17)$$

$$\frac{\partial c^*}{\partial t^*} + \vec{V}^* \cdot \nabla c^* = \nabla^2 c^* \quad (18)$$

$$\eta^* = [1 + (\text{De} V^*)^2]^{c^*(n-1)/2} e^{R(1-c^*)} \quad (19)$$

$$\text{Wi} = (\text{Wi}_{10})^{c^*} [1 + (\text{De} V^*)^2]^{c^*(n-1)/2} e^{R'(1-c^*)} \quad (20)$$

$$\beta = \beta_1 e^{R''(1-c^*)} \quad (21)$$

$$K^* = e^{-\alpha \frac{y^*}{Pe/A}} \quad (22\text{-الف})$$

$$K^* = e^{\alpha \cos(\frac{2\pi y^*}{Pe})} \quad (22\text{-ب})$$

در معادلات (22-16) $Pe = LU/D$. $\text{De} = \zeta U/b$. $\text{Wi} = \lambda U^2/D$ می‌باشد.

است. $A = L/W$

همچنین صورت بی‌بعد شرایط مرزی به صورت روابط (23-24) خواهد

بود:

$$x^* = -\frac{Pe}{2} - t^*; \quad u^* = 1; \quad v^* = 0; \quad c^* = 1 \quad (23)$$

$$x^* = \frac{Pe}{2} - t^*; \quad u^* = 1; \quad v^* = 0; \quad c^* = 0 \quad (23)$$

$$\begin{aligned} (u^*, v^*, c^*)(x^*, -Pe/(2A), t^*) &= (u^*, v^*, c^*)(x^*, Pe/(2A), t^*) \end{aligned} \quad (24)$$

در ادامه جهت سهولت کار بالاترین ستاره از پارامترهای بی‌بعد حذف

$$K(y) = K_0 e^{-\alpha \frac{y}{W}} \quad (1)$$

در حالت دوم، نفوذپذیری محیط به صورتی در نظر گرفته می‌شود که در جهت z ابتدا افزایش داشته و سپس در مرکز محیط به حداکثر مقدار خود رسیده و مجدداً کاهش یابد. نفوذپذیری در این حالت به صورت معادله (2) در نظر گرفته می‌شود:

$$K(y) = K_0 e^{\alpha \cos(\frac{2\pi y}{W})} \quad (2)$$

در معادلات (1) و (2)، K_0 میانگین نفوذپذیری محیط و α ضریبی مشبّت است که درجه ناهمگنی محیط را نشان می‌دهد. هرچه این ضریب بزرگ‌تر باشد تغییرات نفوذپذیری محیط شدیدتر است.

3-معادلات حاکم

معادلات حاکم بر جابجایی دو بعدی سیالات تراکم‌ناپذیر شامل قانون بقای جرم، معادله مومنتوم به صورت قانون دارسی اصلاح شده و معادله نفوذ-

جابجایی برای غلظت به صورت روابط (5-3) می‌باشد:

$$\nabla \cdot \vec{V} = 0 \quad (3)$$

$$\left(1 + \lambda \frac{\partial}{\partial t} \right) \nabla p = -\frac{\eta}{K} (1 + \theta \frac{\partial}{\partial t}) \vec{V} \quad (4)$$

$$\frac{\partial c}{\partial t} + \vec{V} \cdot \nabla c = \nabla \cdot D \nabla c \quad (5)$$

در معادلات (5-3)، \vec{V} بردار سرعت، p فشار، η ویسکوزیته، K تانسور نفوذپذیری محیط، D پراکندگی محیط جابجایی و c غلظت می‌باشد. همانگونه که اشاره شد، معادله (4) قانون دارسی اصلاح شده می‌باشد. در مطالعه حاضر سیال جابجاکننده سیال ویسکوالاستیک با معادله ساختاری وايت-متزner می‌باشد. بنابراین با استفاده از آنالوژی، قانون دارسی بر این اساس اصلاح شده است [18]. معادله ساختاری وايت-متزner توسط رابطه (6) توصیف می‌شود [19]:

$$\tilde{\tau} + \lambda \tilde{\tau}_{(1)} = \eta (\dot{y}_{(1)} + \theta \dot{y}_{(2)}) \quad (6)$$

در رابطه (6)، λ و θ به ترتیب نشان‌دهنده زمان آرامش و زمان تأخیر

مدل وايت-متزner می‌باشد که وابسته به نرخ برش هستند. $\tilde{\tau}$ تانسور تنش و $\dot{y}_{(1)}$ مشتق زمانی پاده‌مبسته تنش و $\dot{y}_{(2)}$ مشتق‌های زمانی پاده‌مبسته نرخ برش می‌باشند. همچنین در این مدت η به عنوان ویسکوزیته کل محلول پلیمری (سیال ویسکوالاستیک) به صورت مجموع سهم ویسکوزیته پلیمری (η_p) و سهم ویسکوزیته حلal (η_s) در نظر گرفته می‌شود و λ و θ توسط رابطه (7) با هم ارتباط دارند.

$$\theta = (1 - \beta) \lambda \quad (7)$$

در معادله (6)، $\beta = \eta_p/\eta$ می‌باشد.

به منظور نشان‌دادن وابستگی ویسکوزیته کل و زمان آرامش به نرخ برش از مدل کاریو-یاسودا استفاده خواهد شد. این مدل به خوبی قادر به توصیف رفتار باریک‌شوندگی سیال ویسکوالاستیک می‌باشد. روابط (8) و (9) توصیف کننده ویسکوزیته و زمان آرامش خواهند بود:

$$\frac{\eta}{\eta_0} = [1 + (\zeta \gamma)^2]^{(n-1)/2} \quad (8)$$

$$\frac{\lambda}{\lambda_0} = [1 + (\zeta \gamma)^2]^{(n-1)/2} \quad (9)$$

در معادلات (8) و (9)، η_0 و λ_0 به ترتیب نشان‌دهنده ویسکوزیته و زمان آرامش در نرخ برش صفر می‌باشند. ζ ثابت زمانی مدل کاریو، n شاخص توانی و γ نرخ برش تعیین یافته می‌باشد. برش اصلی در سلول هل-شاو در جهت عمود بر صفحه رخ می‌دهد. میانگین برش را به صورت V/b در نظر می‌گیریم که V بزرگی سرعت و b فاصله دو صفحه در سلول هل-شاو

$$H\langle g(x, y) \rangle = \frac{1}{\sqrt{N_x N_y}} \sum_x \sum_y g(x, y) \operatorname{cas}\left(\frac{2\pi x k_x}{N_x} + \frac{2\pi y k_y}{N_y}\right) \quad (33)$$

در این معادله N_x و N_y به ترتیب نشان‌دهنده تعداد گره‌های محاسباتی در جهت x و y است. همچنین k_x و k_y اعداد موج در جهت x و y می‌باشند. cas نیز به صورت مجموع کسینوس و سینوس تعریف می‌شود. برای استفاده از تبدیل هارتلی نیاز به شرایط مرزی متنابو می‌باشد. با توجه به معادلات (23) و (24)، غلظت در جهت x متنابو نیست. بنابراین بر اساس روش پیشنهادی منیکام و هومسی [21] تابع غلظت به دو بخش اغتشاشی ($\bar{c}(x, y, t)$) و حالت پایه ($\bar{c}(x, t)$) تقسیم می‌شود. حالت پایه به صورت معادله (34) در نظر گرفته خواهد شد:

$$\bar{c}(x, t) = \frac{1}{2} [1 - \operatorname{erf}(x/\sqrt{4t})] \quad (34)$$

بنابراین در روند شبیه‌سازی به جای استفاده از غلظت کل، فقط جمله اغتشاشی غلظت محاسبه می‌شود. همچنین شرایط اولیه غلظت به صورت معادله (35) تعریف می‌شود.

$$c(x, y, t = t_0) = \bar{c}(x, t_0) + \delta \cdot \operatorname{rand}(y) \cdot \exp\left(-\frac{x^2}{\sigma^2}\right) \quad (35)$$

در معادله (35)، δ ضریبی است که شدت مقادیر تصادفی را مشخص می‌نماید و معمولاً از مرتبه 0.01 0.01 انتخاب می‌شود. $\operatorname{rand}(y)$ مجموعه‌ای از اعداد تصادفی است که بین 1 و -1 انتخاب می‌شود و σ پارامتری است که شدت نفوذ پراکنده‌گاه را از مرز جلویی نشان می‌دهد. پیش‌فت زمانی در مسئله با استفاده از روش حدس-اصلاح آدامز بشفورس صورت می‌گیرد.

5- نتایج

در این بخش به ارائه نتایج حاصل از شبیه‌سازی می‌پردازیم. در تمام شبیه‌سازی‌ها $Wi_{10} = 2$ ، $A = 2$ ، $Pe = 1000$ ، $\beta_1 = 0.1$ و $R = 2$ در نظر گرفته شده است. مگر اینکه خلاف آن ذکر شود. همچنین حالتی که نفوذپذیری محیط توسط معادله (22-الف) توصیف می‌شود به عنوان محیط با ناهمگنی کاکشی و حالتی که معادله (22-ب) توصیف کننده ناهمگنی محیط است به صورت محیط با ناهمگنی سهموی نامگذاری شده است.

پیش از پرداختن به نتایج حاصل از شبیه‌سازی در محیط ناهمگن، ابتدا به مقایسه نتایج حاصل از این شبیه‌سازی و نتایج ارائه شده توسط شکری و همکاران [16] خواهیم پرداخت. در این مطالعه به شبیه‌سازی جابجایی سیال نیوتونی توسط سیال ویسکوالاستیک اولدرویدی در محیط همگن پرداخته شده است. با قرار دادن شاخص توانی n برابر یک، ویسکوزیته و زمان آرامش سیال ویسکوالاستیک ثابت خواهد شد و با نزدیکی تغییر نخواهد نمود.

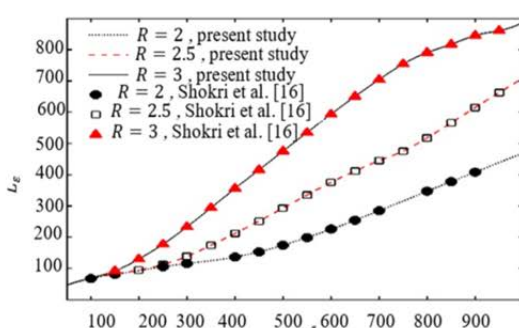


Fig. 2 Verification of simulation results

شکل 2 اعتبارسنجی نتایج شبیه‌سازی

خواهد شد.

4- روش عددی

در ادامه به منظور حل ساده‌تر معادلات به صورت تابع جریان-ورتیسیته نوشته خواهد شد. با این تبدیل، معادله پیوستگی خود به خود برقرار خواهد

$$\frac{\partial c}{\partial t} + \frac{\partial \psi}{\partial y} \frac{\partial c}{\partial x} - \frac{\partial \psi}{\partial x} \frac{\partial c}{\partial y} = \nabla^2 c \quad (25)$$

همچنین، از معادله (17) کرل گرفته و در نهایت به صورت معادله (26) در خواهد آمد:

$$\begin{aligned} \omega + (1 - \beta) Wi \frac{\partial \omega}{\partial t} &= \frac{K}{\eta} \left(\frac{\partial Wi}{\partial y} \frac{\partial^2 p}{\partial x \partial t} - \frac{\partial Wi}{\partial x} \frac{\partial^2 p}{\partial y \partial t} \right) \\ &+ \left(\frac{\partial \psi}{\partial y} + 1 \right) \frac{\partial \eta}{\eta \partial y} + \frac{\partial \psi}{\partial x} \frac{\partial \eta}{\eta \partial x} \\ &+ \frac{\partial^2 \psi}{\partial y \partial t} \frac{\partial \eta (1 - \beta) Wi}{\eta \partial y} + \frac{\partial^2 \psi}{\partial x \partial t} \frac{\partial \eta (1 - \beta) Wi}{\eta \partial x} \\ &- \frac{d \ln(K)}{dy} \left(\left(\frac{\partial \psi}{\partial y} + 1 \right) + (1 - \beta) Wi \frac{\partial^2 \psi}{\partial y \partial t} \right) \end{aligned} \quad (26)$$

همچنین:

$$\begin{aligned} \frac{\partial Wi}{\partial y} &= \left(-R' + \ln(Wi_{10}) + \frac{n-1}{2} \ln(1 + (DeV)^2) \right) Wi \frac{\partial c}{\partial y} \\ &+ \left(c \frac{n-1}{2} \frac{De^2}{1 + (DeV)^2} \right) Wi \left(2 \left(\frac{\partial \psi}{\partial y} + 1 \right) \frac{\partial^2 \psi}{\partial y^2} + 2 \frac{\partial \psi}{\partial x} \frac{\partial^2 \psi}{\partial y \partial x} \right) \end{aligned} \quad (27)$$

$$\begin{aligned} \frac{\partial Wi}{\partial x} &= \left(-R' + \ln(Wi_{10}) + \frac{n-1}{2} \ln(1 + (DeV)^2) \right) Wi \frac{\partial c}{\partial x} \\ &+ \left(c \frac{n-1}{2} \frac{De^2}{1 + (DeV)^2} \right) Wi \left(2 \left(\frac{\partial \psi}{\partial y} + 1 \right) \frac{\partial^2 \psi}{\partial x \partial y} + 2 \frac{\partial \psi}{\partial x} \frac{\partial^2 \psi}{\partial x^2} \right) \end{aligned} \quad (28)$$

$$\begin{aligned} \frac{\partial \eta}{\eta \partial x} &= \left(-R + \frac{n-1}{2} \ln(1 + (DeV)^2) \right) \frac{\partial c}{\partial x} \\ &+ \left(\frac{c(n-1)}{2} \frac{De^2}{1 + (DeV)^2} \right) \left(2 \left(\frac{\partial \psi}{\partial y} + 1 \right) \frac{\partial^2 \psi}{\partial x \partial y} + 2 \frac{\partial \psi}{\partial x} \frac{\partial^2 \psi}{\partial x^2} \right) \end{aligned} \quad (29)$$

$$\begin{aligned} \frac{\partial \eta}{\eta \partial y} &= \left(-R + \frac{n-1}{2} \ln(1 + (DeV)^2) \right) \frac{\partial c}{\partial y} \\ &+ \left(\frac{c(n-1)}{2} \frac{De^2}{1 + (DeV)^2} \right) \left(2 \left(\frac{\partial \psi}{\partial y} + 1 \right) \frac{\partial^2 \psi}{\partial y^2} + 2 \frac{\partial \psi}{\partial x} \frac{\partial^2 \psi}{\partial y \partial x} \right) \end{aligned} \quad (30)$$

$$\begin{aligned} \frac{\partial \eta (1 - \beta) Wi}{\eta \partial y} &= ((-R + \frac{n-1}{2} \ln(1 + (DeV)^2)) - R' \\ &+ \ln(Wi_{10})) \end{aligned}$$

$$\begin{aligned} &+ \frac{n-1}{2} \ln(1 + (DeV)^2) Wi (1 - \beta) + R'' Wi \beta \frac{\partial c}{\partial y} \\ &+ 2 \frac{c(n-1)}{2} \frac{De^2}{1 + (DeV)^2} Wi (1 - \end{aligned}$$

$$\begin{aligned} &\beta) \left(2 \left(\frac{\partial \psi}{\partial y} + 1 \right) \frac{\partial^2 \psi}{\partial y^2} + 2 \frac{\partial \psi}{\partial x} \frac{\partial^2 \psi}{\partial y \partial x} \right) \\ \frac{\partial \eta (1 - \beta) Wi}{\eta \partial x} &= ((-R + \frac{n-1}{2} \ln(1 + (DeV)^2)) - R' \\ &+ \ln(Wi_{10})) \end{aligned} \quad (31)$$

$$\begin{aligned} &+ \frac{n-1}{2} \ln(1 + (DeV)^2) Wi (1 - \beta) + R'' Wi \beta \frac{\partial c}{\partial x} \\ &+ 2 \frac{c(n-1)}{2} \frac{De^2}{1 + (DeV)^2} Wi (1 - \end{aligned}$$

$$\begin{aligned} &\beta) \left(2 \left(\frac{\partial \psi}{\partial y} + 1 \right) \frac{\partial^2 \psi}{\partial x \partial y} + 2 \frac{\partial \psi}{\partial x} \frac{\partial^2 \psi}{\partial x^2} \right) \end{aligned} \quad (32)$$

در این مطالعه، جهت شبیه‌سازی غیرخطی ناپایداری انگشتی از روش طیفی و تبدیلات هارتلی [20] بهره خواهیم برداشت. این روش در میان روش‌های عددی مورد استفاده در مکانیک سیالات از دقت بالای برخودار است و به کمک آن معادلات مشتقه جزئی به معادلات دیفرانسیلی معمولی تبدیل خواهد شد. تبدیل دو بعدی هارتلی برای یک تابع دلخواه به صورت رابطه (33) خواهد بود:

و به مرور زمان در آن ادغام می‌شود. می‌توان ملاحظه نمود در $\alpha = 0.1$ نوک انگشتی خم شده در انگشتی مجاور گسترش یافته است ولی در $\alpha = 0.8$ همچنان بین دو انگشتی فاصله وجود دارد. آخرین فریم در شکل 3 نشان‌دهنده کانتور غلظت در لحظه‌ای است که جبهه غلظت به بزرگی $c^* = 0.01$ به انتهای ناحیه محاسباتی خواهد رسید. این زمان، زمان دستیابی نامیده می‌شود. همان‌گونه که ملاحظه می‌شود زمان دستیابی برای مقدار بزرگتر درجه ناهمگنی بیشتر است. بنابراین می‌توان نتیجه گرفت با افزایش درجه ناهمگنی از شدت ناپایداری کاسته می‌شود.

تأثیر درجه ناهمگنی این نوع محیط روی طول اختلاط دو سیال در شکل 5 نمایش داده شده است. در این شکل نسبت تحرک برابر $n = 0.8$ و $De = 0.5$ در نظر گرفته شده است. با گذار زمان طول اختلاط دو سیال افزایش خواهد یافت. مشاهده می‌شود که در زمان‌های آغازی درجه ناهمگنی محیط تأثیر محسوسی بر طول اختلاط نخواهد داشت. این در حالیست که در زمان‌های بالاتر، افزایش درجه ناهمگنی موجب کاهش طول اختلاط خواهد شد. با توجه به شکل 4 و بررسی کانتورهای غلظت در این نوع ناهمگنی، در زمان‌های آغازی ساختار انگشتی‌ها چندان تحت تأثیر محیط قرار ندارند، بنابراین طول اختلاط چندان تغییر نخواهد نمود. با پیشروی زمانی، مشاهده می‌شود که با افزایش درجه ناهمگنی مکانیزم‌های همچون بهم پیوستگی به تأخیر می‌افتد. این مکانیزم موجب تقویت انگشتی به تأخیر افتادن آن، کاهش طول اختلاط را به ذغال خواهد داشت.

منحنی‌های طول اختلاط برای مقادیر مختلف شاخص توانی سیال وايت-متزner جابجاقننده در شکل 6 نمایش داده شده است. با افزایش پارامتر n ، خاصیت باریکشوندگی سیال جابجاقننده کاهش می‌یابد. در نتیجه ویسکوزیته و عدد واینبرگ سیال جابجاقننده افزایش خواهد یافت. اختلاف ویسکوزیته دو سیال شرکت‌کننده در جابجایی، عامل اصلی ایجاد این نوع ناپایداریست. در نتیجه با افزایش ویسکوزیته سیال جابجاقننده این اختلاف کاهش خواهد یافت و از شدت ناپایداری کاسته خواهد شد. از طرفی خاصیت الاستیک سیال ویسکوالاستیک منجر به کنترل این نوع ناپایداری خواهد شد [16]. بنابراین با افزایش عدد واینبرگ سیال جابجاقننده که به معنای افزایش خاصیت الاستیک این نوع سیال است، جریان پایدارتر خواهد شد. در نتیجه همانطور که انتظار می‌رود طول اختلاط کاهش خواهد یافت.

شکل 7 نشان‌دهنده طول اختلاط در مقادیر مختلف پارامتر De سیال جابجا کننده می‌باشد. افزایش این پارامتر، کاهش ویسکوزیته و عدد واینبرگ سیال جابجاقننده را در بی دارد. در نتیجه مشاهده می‌شود که با افزایش این پارامتر طول اختلاط دو سیال افزایش خواهد یافت. تأثیر نسبت تحرک دو سیال شرکت‌کننده در جابجایی در شکل 8 نمایش داده شده است. اختلاف ویسکوزیته بین دو سیال به عنوان عامل اصلی ناپایداری انگشتی محاسبه می‌شود. در نتیجه طبیعی است که با افزایش این اختلاف ناپایداری شدت بیشتری خواهد داشت. بنابراین مشاهده می‌شود با افزایش پارامتر R طول اختلاط دو سیال افزایش می‌یابد.

همان‌گونه که اشاره شد از جمله فرآیندهای مهم که در آن ناپایداری انگشتی نقش قابل توجهی ایفا می‌نماید، فرآیند بازیابی نفت می‌باشد. در این فرآیند هدف اصلی، استخراج سیال جابجاشونده (نفت) به کمک سیال جابجاقننده (محلول پلیمری) است. ناپایداری انگشتی تأثیری منفی بر این فرآیند خواهد گذاشت و موجب کاهش بهره‌وری می‌گردد. بازده جاروبی

بنابراین معادله ساختاری وايت-متزner، معادل اولدروید-بی خواهد شد. شکل 2 نشان‌دهنده تغییرات طول اختلاط نسبت به زمان برای مقادیر مختلف نسبت تحرک است. در این شبیه‌سازی عدد واینبرگ سیال جابجاقننده برابر $Wi_{10} = 1.5$ در نظر گرفته شده است. قابل ذکر است که طول اختلاط نشان‌دهنده طول ناحیه پیشروی سیال جابجاقننده در سیال جابجاشونده یا به عبارت ساده‌تر ناحیه مخلوط شدن دو سیال درگیر در فرایند جابجایی است. در این مطالعه همانند زیمرمن و هومسی [3] این پارامتر به صورت فاصله‌ای که در آن میانگین غلظت عرضی از مقدار 0.99 تا 0.01 تغییر می‌نماید اندازه‌گیری می‌شود. همان‌گونه که مشاهده می‌شود نتایج از تطبیق مناسبی برخوردارند.

5-1- حالت اول: محیط با ناهمگنی کاهشی

در این بخش تغییرات ناهمگنی محیط در مقطع عرضی به صورت کاهشی در نظر گرفته خواهد شد. روند تغییرات نفوذپذیری در یک مقطع عرضی از این نوع محیط برای درجات ناهمگنی متفاوت را می‌توان در شکل 3 مشاهده نمود. نفوذپذیری محیط در هر مقطع به صورت نمایی از یک مقدار حداقل به حداقل کاهش می‌یابد. می‌توان ملاحظه نمود هرچه درجه ناهمگنی محیط افزایش می‌یابد تغییرات نفوذپذیری در مقطع عرضی شدت بیشتری خواهد داشت.

شکل 4 نشان‌دهنده کانتورهای غلظت در جابجایی سیال نیوتونی توسط سیال ویسکوالاستیک وايت-متزner با $n = 0.8$ و $De = 0.5$ در نسبت $\alpha = 2.5$ و در محیط‌های با درجات ناهمگنی $\alpha = 0.1$ و $\alpha = 0.8$ می‌باشد. ناپایداری با اعمال یک اغتشاش تصادفی در سطح تماس دو سیال آغاز می‌گردد و با پیشروی زمانی، انگشتی‌ها شکل خواهد گرفت. در فریمهای ابتدایی تعداد انگشتی‌ها زیاد و البته بسیار باریک هستند. با گذر زمان تعاملات بین انگشتی‌ها موجب کاهش و تغییر فرم آنها خواهد شد. با مقایسه کانتورهای غلظت برای دو مقدار درجه ناهمگنی نشان‌داده شده در شکل 3 می‌توان ملاحظه نمود که در زمان‌های آغازی تفاوت محسوسی در اثر تغییر درجه ناهمگنی در کانتورهای غلظت مشاهده نخواهد شد. اما با دقت در فریمهای پایانی می‌توان ملاحظه نمود که بیشتر شدن درجه ناهمگنی می‌تواند وقوع مکانیزم‌های تعاملات انگشتی‌ها را به تأخیر بیاندازد یا به عبارتی موجب کاهش نرخ رشد انگشتی‌ها خواهد شد. برای نشان‌دادن بهتر این موضوع مکانیزم بهم پیوستگی در زمان $t^* = 500$ با دایره نشان‌داده شده است. در این مکانیزم نوک یک انگشتی به سمت بدنه انگشتی مجاور خم شده

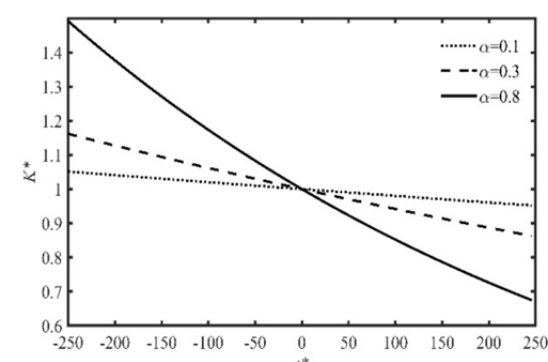


Fig. 3 The permeability variation in the medium with decreasing heterogeneity

شکل 3 تغییرات نفوذپذیری در محیط با ناهمگنی کاهشی

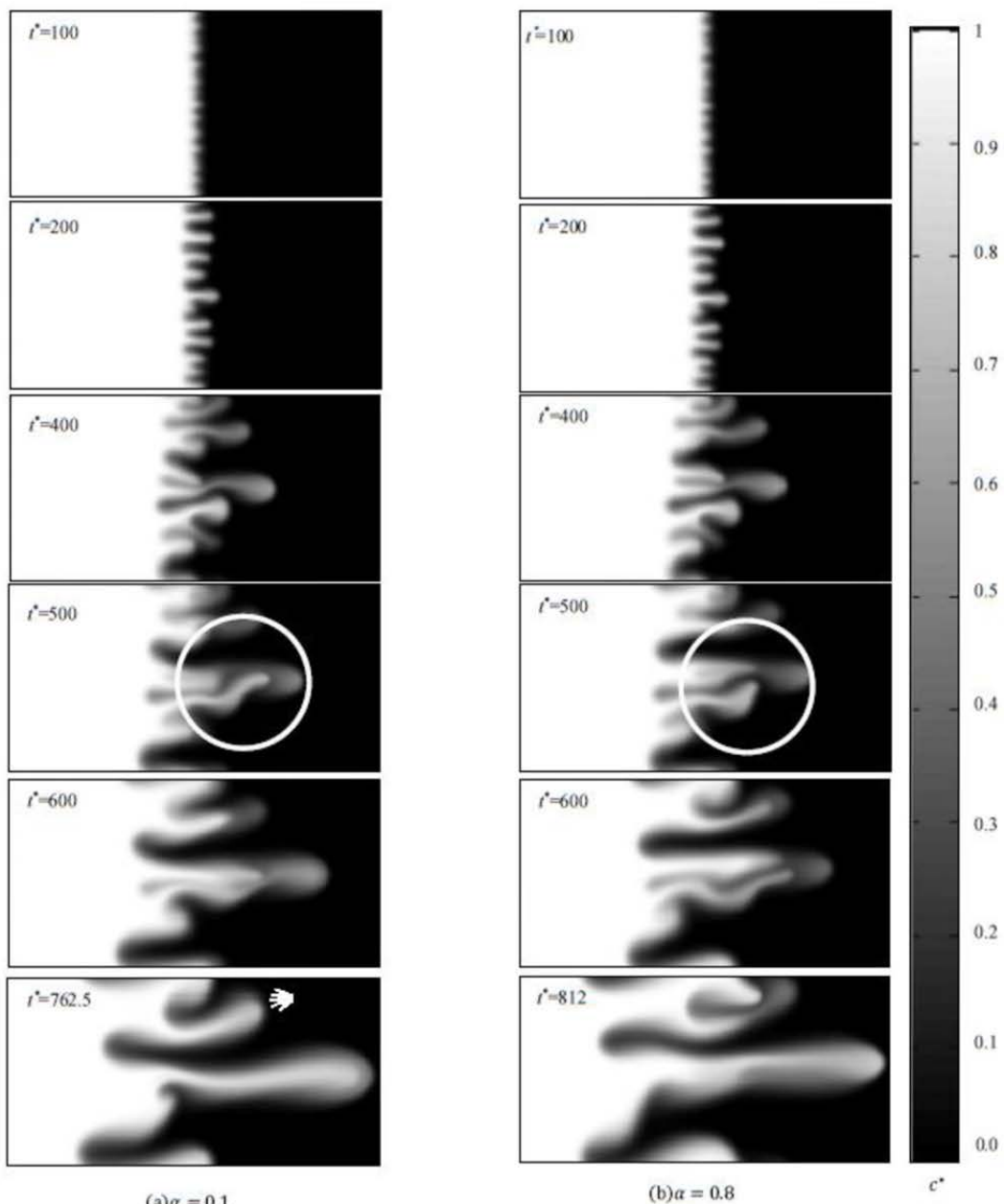


Fig. 4 Concentration contours in the medium with decreasing heterogeneity(a) $\alpha = 0.1$ and (b) $\alpha = 0.8$ ($n = 0.8$, $De = 0.5$ and $R = 2.5$)

شکل 4 کانتورهای غلظت در محیط با ناهمگنی کاهشی (a) $\alpha = 0.8$ (b) $\alpha = 0.1$ (a) و (b) $\alpha = 0.8$ (b) و $\alpha = 0.1$ (a)

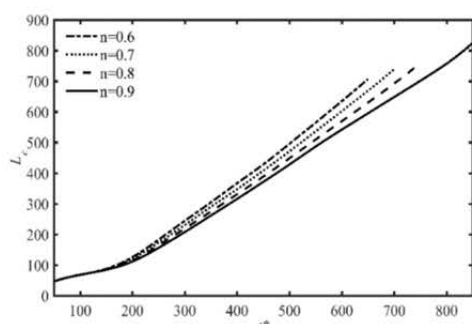


Fig. 6 The mixing length profiles in the medium with decreasing heterogeneity for different values of n ($\alpha = 0.5$, $De = 0.5$ and $R = 2.5$)

شکل 6 منحنی‌های طول اختلاط در محیط با ناهمگنی کاهشی در مقادیر مختلف n ($R = 2.5$ و $De = 0.5$ $\alpha = 0.5$)

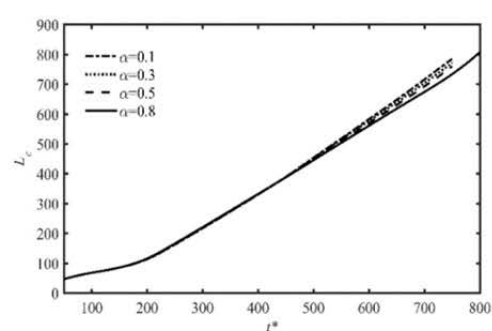


Fig. 5 The mixing length profiles in the medium with decreasing heterogeneity for different values of α ($n = 0.8$, $De = 0.5$ and $R = 2.5$)

شکل 5 منحنی‌های طول اختلاط در محیط با ناهمگنی کاهشی در مقادیر مختلف α ($R = 2.5$ و $De = 0.5$ $n = 0.8$)

جاروبی در جابجایی سیال نیوتونی توسط سیال وايت متزner با شاخص توانی $n = 0.8$ و $De = 0.5$ برای مقادیر مختلف α در شکل 9 نمایش داده شده است. این پارامتر در ابتدا نزدیک 1 است. زیرا هنوز انگشتی‌ها شکل نگرفته و سطح تماس دو سیال تقریباً صاف می‌باشد. با شکل‌گیری انگشتی‌ها از مقدار بازده جاروبی کاسته خواهد شد. مشاهده می‌شود که در مقادیر بالاتر درجه

پارامتریست که به کمک آن می‌توان میزان توانایی سیال جابجاکننده در جابجایی سیال جابجاشونده را سنجید. در این مطالعه از روش ارائه شده توسط قسمت و عزایز [22] برای محاسبه بازده جاروبی استفاده شده است. به این صورت که تعداد گره‌هایی که غلظت آن‌ها مساوی با بزرگتر از 0.5 است بر تعداد کل گره‌های موجود در این محیط محاسباتی تقسیم می‌شوند. بازده

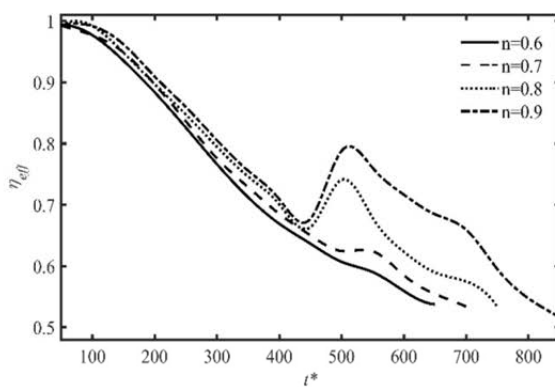


Fig. 10 The sweep efficiency profiles in the medium with decreasing heterogeneity for different values of n ($\alpha = 0.5$, $De = 0.5$ and $R = 2.5$)

شکل 10 منحنی‌های بازده جاروبی در محیط با ناهمگنی کاهشی در مقادیر مختلف ($R = 2.5$ و $De = 0.5$ ، $\alpha = 0.5$) n

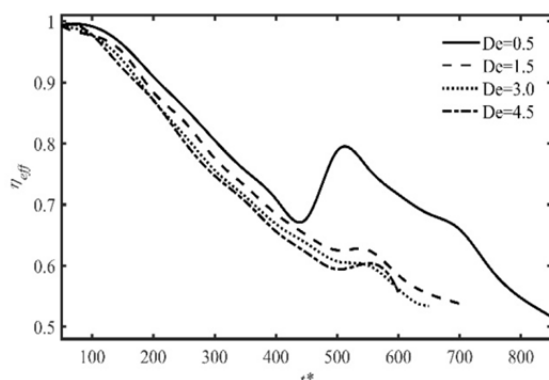


Fig. 11 The sweep efficiency profiles in the medium with decreasing heterogeneity for different values of De ($\alpha = 0.5$, $n = 0.9$ and $R = 2.5$)

شکل 11 منحنی‌های بازده جاروبی در محیط با ناهمگنی کاهشی در مقادیر مختلف ($R = 2.5$ و $n = 0.9$ ، $\alpha = 0.5$) De

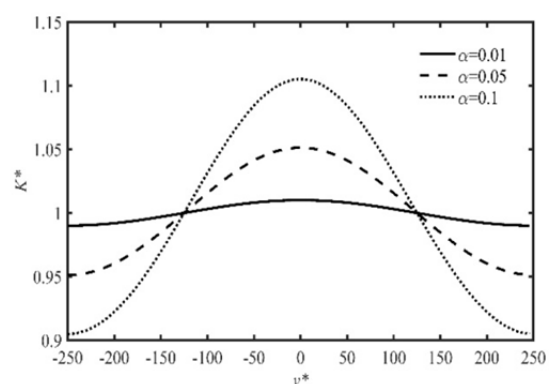


Fig. 12 The permeability variation in the medium with parabolic heterogeneity

شکل 12 تغییرات نفوذپذیری در محیط با ناهمگنی سه‌موی

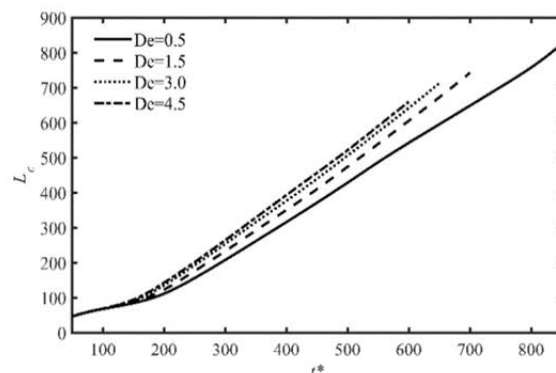


Fig. 7 The mixing length profiles in the medium with decreasing heterogeneity for different values of De ($\alpha = 0.5$, $n = 0.9$ and $R = 2.5$)

شکل 7 منحنی‌های طول اختلاط در محیط با ناهمگنی کاهشی در مقادیر مختلف ($R = 2.5$ و $n = 0.9$ ، $\alpha = 0.5$) De

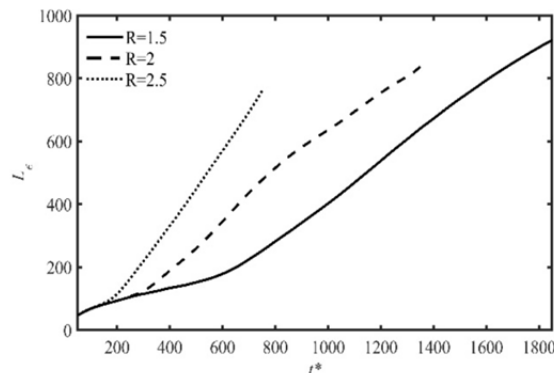


Fig. 8 The mixing length profiles in the medium with decreasing heterogeneity for different values of R ($\alpha = 0.5$, $n = 0.8$ and $De = 0.5$)

شکل 8 منحنی‌های طول اختلاط در محیط با ناهمگنی کاهشی در مقادیر مختلف ($De = 0.5$ و $n = 0.8$ ، $\alpha = 0.5$) R

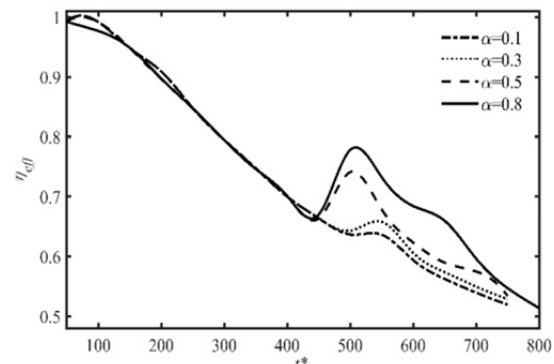


Fig. 9 The sweep efficiency profiles in the medium with decreasing heterogeneity for different values of α ($n = 0.8$, $De = 0.5$ and $R = 2.5$)

شکل 9 منحنی‌های بازده جاروبی در محیط با ناهمگنی کاهشی در مقادیر مختلف α ($R = 2.5$ و $De = 0.5$ ، $n = 0.8$)

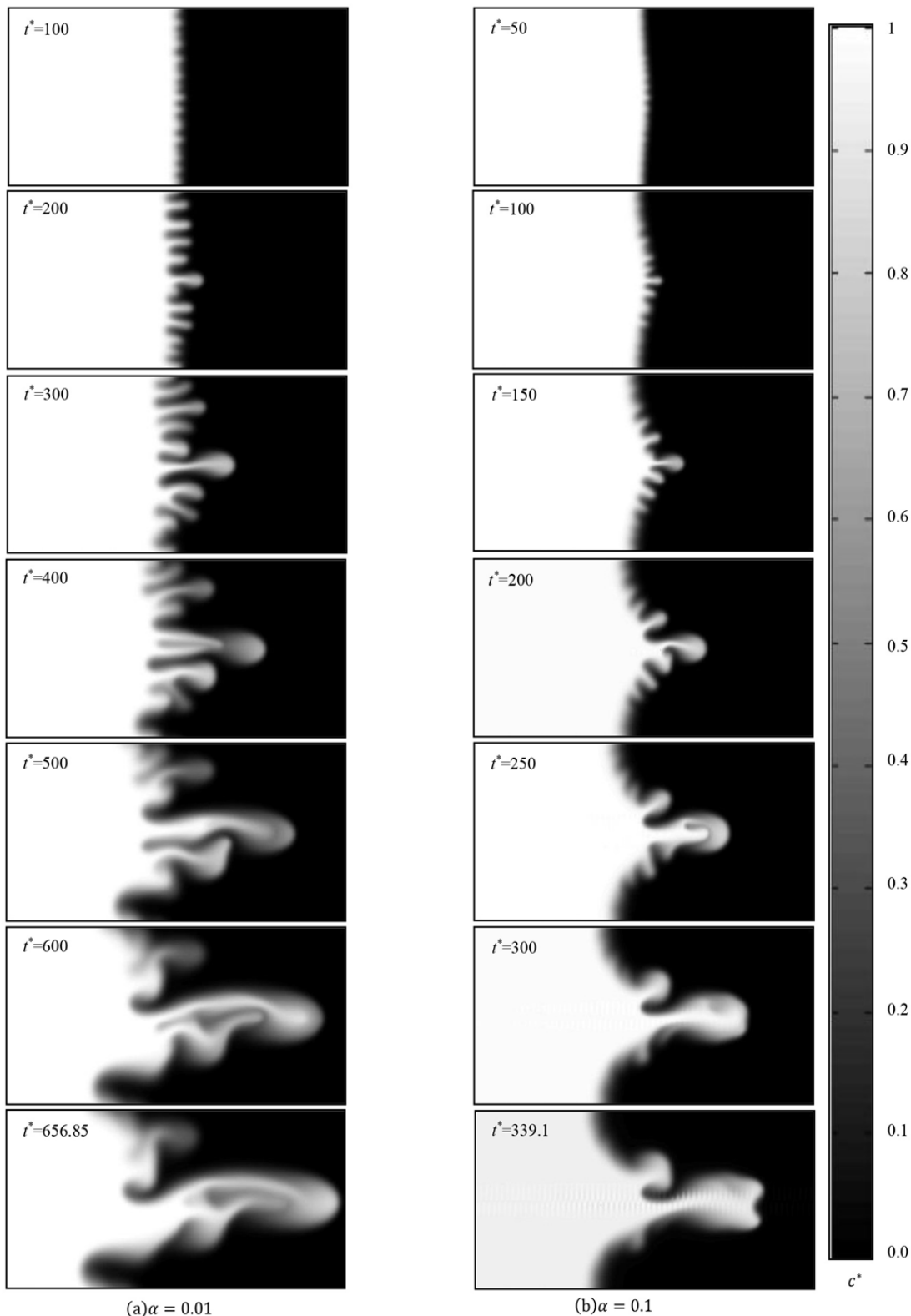


Fig. 13 Concentration contours in the medium with parabolic heterogeneity (a) $\alpha = 0.01$ and (b) $\alpha = 0.1$ ($n = 0.8$, $De = 0.5$ and $R = 2.5$)

شکل 13 کانتورهای غلظت در محیط با ناهمگنی سهموی ($n = 0.8$) و $De = 0.5$ و $R = 2.5$ (b) $\alpha = 0.1$ (a) $\alpha = 0.01$ (b) $\alpha = 0.1$ (a)

به ترتیب در شکل‌های 10 و 11 نمایش داده شده است. همانگونه که انتظار می‌رود با افزایش n و کاهش De ، بازده جاروبی افزایش خواهد یافت. در واقع همانگونه که اشاره شد با افزایش n و کاهش De ، خاصیت

ناهمگنی این نوع محیط، بازده جاروبی افزایش خواهد یافت. تغییرات بازده جاروبی در محیطی با ناهمگنی کاهش $\alpha = 0.5$ برای مقادیر مختلف شاخص توانی (n) و عدد دورانی سیال جابجاکننده (De)

نفوذپذیری مشاهده می‌شود. سپس در میانه مقطع نفوذپذیری به حدکثر مقدار خود رسیده و در ادامه روندی کاهشی خواهد داشت. نتایج با کمک روش طیفی و تبدیلات هارتلی به صورت کانتورهای غلظت، منحنی‌های طول اختلاط و بازده جاروبی ارائه شده است. نتایج نشان می‌دهد در حالت اول یعنی محیط با ناهمگنی کاهشی ساختار انگشتی‌ها آچنان تحت تأثیر درجه ناهمگنی محیط قرار ندارد. با افزایش درجه ناهمگنی طول اختلاط در زمان‌های بالا اندکی کاهش می‌یابد. تأثیر درجه ناهمگنی در این نوع محیط بر روی بازده جاروبی محسوس‌تر بوده و می‌توان افزایش بازده در نتیجه افزایش درجه ناهمگنی را مشاهده نمود. در حالت دوم یعنی محیط با درجه ناهمگنی سهموی می‌باشد. در این حالت تأثیر درجه ناهمگنی قرار دارد. با افزایش درجه ناهمگنی تمایل انگشتی‌ها برای حرکت در میانه مقطع یعنی منطقه با نفوذپذیری بالاتر افزایش می‌یابد و انگشتی‌های میانی نرخ رشد بیشتری داشته و سطح تماس دو سیال حالت سهموی به خود می‌گیرد. مشاهده می‌شود که با افزایش درجه ناهمگنی طول اختلاط افزایش و بازده جاروبی کاهش خواهد یافت. همچنین مشاهده می‌شود در هر دو حالت با افزایش خاصیت باریک‌شوندگی سیال ویسکوالاستیک جابجاکننده یعنی کاهش شاخص توانی n و افزایش عدد دبورا De ، ناپایداری شدت گرفته و افزایش طول اختلاط و کاهش بازده جاروبی در فرایند جابجایی مشاهده

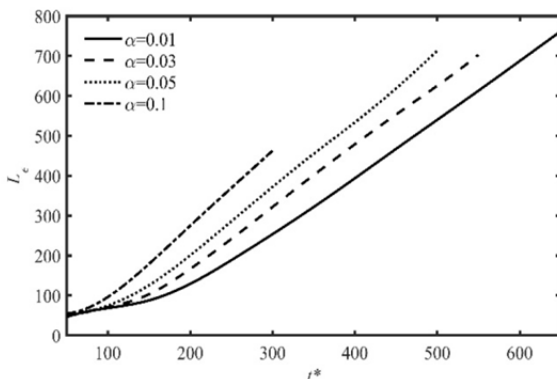


Fig. 14 The mixing length profiles in the medium with parabolic heterogeneity for different values of α ($n = 0.8$, $De = 0.5$ and $R = 2.5$)

شکل 14 منحنی‌های طول اختلاط در محیط با ناهمگنی سهموی در مقادیر مختلف ($R = 2.5$ و $De = 0.5$ و $n = 0.8$) α

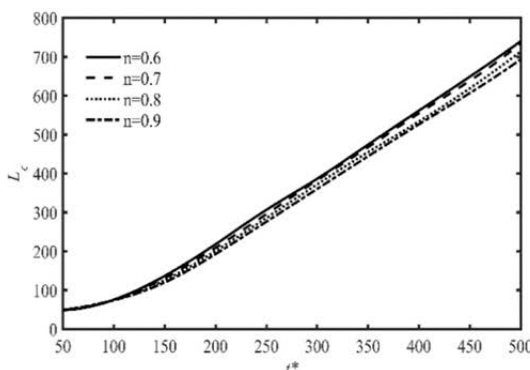


Fig. 15 The mixing length profiles in the medium with parabolic heterogeneity for different values of n ($\alpha = 0.05$, $De = 0.5$ and $R = 2.5$)

شکل 15 منحنی‌های طول اختلاط در محیط با ناهمگنی سهموی در مقادیر مختلف ($R = 2.5$ و $De = 0.5$ و $\alpha = 0.05$) n

باریک‌شوندگی سیال ویسکوالاستیک کاهش یافته و از شدت ناپایداری کاسته خواهد شد.

5-2- حالت دوم: محیط با ناهمگنی سهموی

تغییرات نفوذپذیری در یک مقطع عرضی از یک محیط با ناهمگنی سهموی در شکل 12 نمایش داده شده است. مشاهده می‌شود که نفوذپذیری در یک مقطع عرضی از این نوع محیط ابتدا روندی افزایشی داشته و در میانه مقطع به حدکثر مقدار خود می‌رسد و سپس کاهش می‌یابد. کانتورهای غلظت در جابجایی سیال نیوتونی توسط سیال وايت-متزner با $De = 0.5$ ، $n = 0.8$ و $\alpha = 0.1$ در شکل 13 در دو شدت ناهمگنی متفاوت $R = 2.5$ نمایش داده شده است. همانگونه که مشاهده می‌شود در $\alpha = 0.01$ کانتورهای غلظت رفتاری مشابه حالت اول خواهد داشت اما با افزایش α به مقدار 0.1 رشد انگشتی‌ها در میانه مقطع بالاتر خواهد بود. تمایل انگشتی‌ها برای حرکت در منطقه با نفوذپذیری بالاتر موجب می‌شود جبهه غلظت به صورت سهمی شکل پیشروی نماید. در این حالت نرخ رشد انگشتی‌ها بیشتر از حالت قبل خواهد بود و جبهه غلظت با $c^* = 0.01$ زمان کمتری به پایان ناچیه‌ی محاسباتی می‌رسد.

طول اختلاط در مقادیر مختلف درجه ناهمگنی برای جریان با $De = 0.5$ و $n = 0.8$ در شکل 14 نمایش داده شده است. مشاهده می‌شود که با افزایش درجه ناهمگنی طول انگشتی‌ها افزایش می‌یابد و زمان دستیابی کاهش خواهد یافت. در واقع با افزایش درجه ناهمگنی تمایل انگشتی‌ها به حرکت در میانه مسیر بیشتر شده و در نتیجه به نوعی انگشتی‌های میانی توسط انگشتی‌های اطراف پوشش داده خواهد شد. بنابراین سریعتر رشد نموده و به پایان مسیر می‌رسد. با مقایسه منحنی‌های اختلاط در دو حالت می‌توان مشاهده نمود که در ناهمگنی سهموی تأثیر درجه ناهمگنی بیشتر از حالت اول یعنی محیط با ناهمگنی کاهشی خواهد بود.

منحنی طول اختلاط برای مقادیر مختلف شاخص توانی سیال جابجاکننده در محیط با درجه ناهمگنی سهموی $\alpha = 0.05$ در شکل 15 نمایش داده شده است. می‌توان ملاحظه نمود که با افزایش شاخص توانی و کم شدن خاصیت باریک‌شوندگی سیال جابجاکننده طول اختلاط کاهش خواهد یافت. مشاهده می‌شود در این حالت تأثیر شاخص توانی کمتر از حالت قبل است.

تغییرات بازده جاروبی در مقادیر مختلف درجه ناهمگنی α و شاخص توانی n به ترتیب در شکل‌های 16 و 17 نمایش داده شده است. نتایج بازده جاروبی تأیید کننده نتایج پیشین است و با کاهش درجه ناهمگنی و افزایش شاخص توانی جریان پایدارتر شده و بازده جاروبی افزایش می‌یابد.

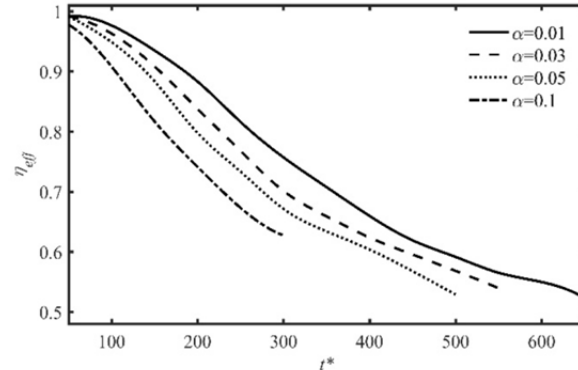
6-نتیجه‌گیری

در این پژوهش به شبیه‌سازی ناپایداری انگشتی در جابجایی سیال نیوتونی توسط سیال ویسکوالاستیک وايت-متزner در محیط ناهمگن پرداخته شده است. در معادله ساختاری وايت-متزner خواص سیال ویسکوالاستیک همچون ویسکوزیته و زمان رهایی از تنش تابع نرخ برش می‌باشد. به منظور نشان دادن این واسطگی از مدل کلریو استفاده شده است. در این مطالعه دو نوع ناهمگنی متفاوت مورد بررسی قرار گرفته است: ناهمگنی کاهشی و ناهمگنی سهموی. در ناهمگنی کاهشی، نفوذپذیری در جهت عرضی به صورت نمایی کاهش می‌یابد و در ناهمگنی سهموی، در هر مقطع عرضی ابتدا افزایش

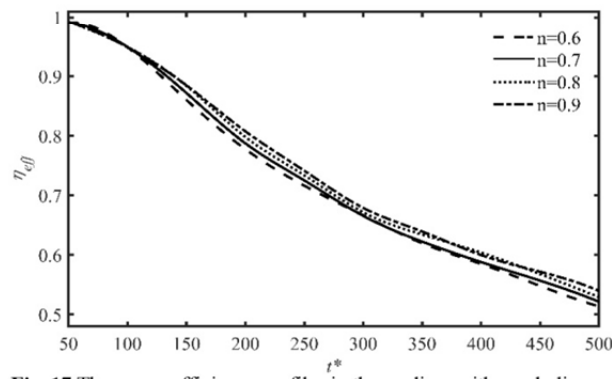
عدد پکلت	Pe
لگاریتم نسبت ویسکوزیتهای	R
(س) زمان	t
($m s^{-1}$) سرعت در جهت محور X	u
($m s^{-1}$) سرعت در جهت محور y	va
(m) عرض سلول هل-شاو	W
عدد وایزنبیرگ	Wi
علایم یونانی	
درجه ناهمگنی محیط	α
نرخ برش تعیین یافته (s^{-1})	$\dot{\gamma}$
ثابت زمانی مدل کاریو (s)	ζ
لزجت دینامیکی ($kgm^{-1}s^{-1}$)	η
بازده جاروبی (s)	η_{eff}
ثابت زمانی تأخیر (s)	θ
ثابت زمانی رهایی از انتشار یا آرامش (s)	λ
چگالی (kgm^{-3})	ρ
تابع جریان ($m^2 s^{-1}$)	ψ
ورتیسیتی (s^{-1})	ω
زیرنویس‌ها	
سیال جابجاکننده	1
سیال جابجاشونده	2
پارامتر در نرخ برش صفر	0

- مراجع -

- [1] S. Hill, Channelling in packed columns, *Chemical Engineering Science*, Vol. 1, No. 6, pp. 247-253, 1952.
- [2] C. Tan, G. Homsy, Simulation of nonlinear viscous fingering in miscible displacement, *Physics of Fluids*, Vol. 31, No. 6, pp. 1330-1338, 1988.
- [3] W. Zimmerman, G. Homsy, Nonlinear viscous fingering in miscible displacement with anisotropic dispersion, *Physics of Fluids A: Fluid Dynamics*, Vol. 3, No. 8, pp. 1859-1872, 1991.
- [4] C. T. Tan, G. Homsy, Viscous fingering with permeability heterogeneity, *Physics of Fluids A: Fluid Dynamics*, Vol. 4, No. 6, pp. 1099-1101, 1992.
- [5] A. De Wit, G. Homsy, Viscous fingering in periodically heterogeneous porous media. I. Formulation and linear instability, *The Journal of Chemical Physics*, Vol. 107, No. 22, pp. 9609-9618, 1997.
- [6] A. De Wit, G. Homsy, Viscous fingering in periodically heterogeneous porous media. II. Numerical simulations, *The Journal of Chemical Physics*, Vol. 107, No. 22, pp. 9619-9628, 1997.
- [7] M. Sajjadi, J. Azraiez, Scaling and unified characterization of flow instabilities in layered heterogeneous porous media, *Physical Review E*, Vol. 88, No. 3, pp. 033017, 2013.
- [8] H. Pascal, Stability of a moving interface in porous medium for non-Newtonian displacing fluids and its applications in oil displacement mechanism, *Acta Mechanica*, Vol. 58, No. 1-2, pp. 81-91, 1986.
- [9] H. Li, B. Maini, J. Azraiez, Experimental and numerical analysis of the viscous fingering instability of shear-thinning fluids, *The Canadian Journal of Chemical Engineering*, Vol. 84, No. 1, pp. 52-62, 2006.
- [10] M. C. Kim, C. K. Choi, Linear analysis on the stability of miscible dispersion of shear-thinning fluids in porous media, *Journal of Non-Newtonian Fluid Mechanics*, Vol. 166, No. 21-22, pp. 1211-1220, 2011.
- [11] M. Nourozi, M. Shoghi, Nonlinear simulation of non-Newtonian viscous fingering instability in anisotropic porous media, *Modares Mechanical Engineering*, Vol. 15, No. 7, pp. 415-425, 2015. (in Persian)
- [12] M. R. Shoghi, M. Nourozi, Linear stability analysis and nonlinear simulation of non-Newtonian viscous fingering instability in heterogeneous porous media, *Rheologica Acta*, Vol. 54, No. 11-12, pp. 973-991, 2015.
- [13] D. J. Pye, Improved secondary recovery by control of water mobility, *Journal of Petroleum Technology*, Vol. 16, No. 08, pp. 911-916, 1964.
- [14] S. Mora, M. Manna, From viscous fingering to elastic instabilities, *Journal of Non-Newtonian Fluid Mechanics*, Vol. 173, No. 1, pp. 30-39, 2012.
- [15] M. Kayhani, H. Shokri, M. Nourozi, Nonlinear simulation of viscoelastic fingering instability, *Modares Mechanical Engineering*, Vol. 16, No. 8, pp. 47-54, 2016. (in Persian)



شکل ۱۶ منحنی‌های بازده در محیط با ناهمگنی سهموی در مقادیر مختلف α ($R = 2.5$ و $De = 0.5$ و $n = 0.8$)



شکل ۱۷ منحنی‌ها بازده جاروبی در محیط با ناهمگنی سهموی در مقادیر مختلف n ($R = 2.5$ و $De = 0.5$ و $\alpha = 0.05$)

می‌شود.

در مطالعات پیشین نقش سیال ویسکوالاستیک بر روی ناپایداری انگشتی مورد بررسی قرار گرفته است. بخش عظیمی از مطالعات بر روی خاصیت باریک‌شوندگی این سیال تمرکز دارند و تعداد محدودی نیز خاصیت الاستیک سیال را مورد مطالعه قرار داده‌اند. این مطالعه نخستین تلاش به منظور در نظر گرفتن این دو خاصیت بازدید سیال ویسکوالاستیک به طور توأم می‌باشد.

7- فهرست علایم

غلظت	c
میانگین غلظت عرضی	C_{ave}
پراکندگی ($m^2 s^{-1}$)	D
عدد دورا	De
نفوذپذیری (m^2)	K
طول سلول هل-شاو (m)	L
طول اختلاط	L_e
شاخص توانی در مدل کاریو	n
فشار ($kgm^{-1}s^{-2}$)	P

- type, *Journal of Mathematical Analysis and Applications*, Vol. 185, No. 3, pp. 675-705, 1994.
- [20] C. Canuto, M. Y. Hussaini, A. Quarteroni, A. Thomas Jr, *Spectral methods in fluid dynamics*, pp. 31-93, Springer, 2012.
- [21] O. Manickam, G. Homsy, Stability of miscible displacements in porous media with nonmonotonic viscosity profiles, *Physics of Fluids A: Fluid Dynamics*, Vol. 5, No. 6, pp. 1356-1367, 1993.
- [22] K. Ghemat, J. Azaiez, Viscous fingering instability in porous media: effect of anisotropic velocity-dependent dispersion tensor, *Transport in Porous Media*, Vol. 73, No. 3, pp. 297-318, 2008.
- [16] H. Shokri, M. Kayhani, M. Norouzi, Nonlinear simulation and linear stability analysis of viscous fingering instability of viscoelastic liquids, *Physics of Fluids*, Vol. 29, No. 3, pp. 033101, 2017.
- [17] H. Shokri, M. Kayhani, M. Norouzi, Saffman-Taylor instability of viscoelastic fluids in anisotropic porous media, *International Journal of Mechanical Sciences*, Vol. 135, No. 1, pp. 1-13, 2018.
- [18] Z. Zhang, C. Fu, W. Tan, Linear and nonlinear stability analyses of thermal convection for Oldroyd-B fluids in porous media heated from below, *Physics of Fluids*, Vol. 20, No. 8, pp. 084103, 2008.
- [19] A. Hakim, Mathematical analysis of viscoelastic fluids of White-Metzner